

CARATTERIZZAZIONE S POTTRALE DISEGNALI DETERMINISTICI DI ENERGIA (TEMPO-DISCRETO)

$$X[n] \quad \begin{matrix} 1 & 1 & 1 & 1 \\ \hline 100 & 1 & 0 & 1 \end{matrix} \quad e^{-j2\pi f n}$$

$X(v) = \sum_{n=-\infty}^{+\infty} X[n] e^{-j2\pi f n}$; Dato un segnale di energia tempo-

Analogamente ai segnali di energia reale e continua si definisce

$$E_x(v) = |X(v)|^2 \quad \text{Spettro di energia delle seq. } X[n]$$

Infatti: $E_x = \sum_{n=-\infty}^{+\infty} |X[n]|^2 = \int_{-\frac{1}{2}}^{\frac{1}{2}} |X(v)|^2 dv$

Sarà anche la definizione di autocorrelazione.

$$\mathcal{R}_x[n] = \sum_{m=-\infty}^{+\infty} x[m] x^*[m-n]$$

AUTOCORRELAZIONE
DI $x[n]$.

Si tratta ovviamente di una sequenza in un (time-lag)
Proprietà della autocorrelazione.

1. $\mathcal{R}_x[n]$ è una seq. Hermitiana.

$$\boxed{\mathcal{R}_x[n] = \mathcal{R}_x^*[n]}$$

Proviamo:

$$\left(\sum_{m=-\infty}^{+\infty} x[m] x^*[m-n] \right)^* = \sum_{m=-\infty}^{+\infty} x^*[m] x[m-n] = \sum_{l=-\infty}^{+\infty} x^*[l+n] x[l] \quad l = m-n$$

$$= \mathcal{R}_x[-n]$$

2. $\mathcal{R}_x[0] = E_x$ la autocorrelazione in 0 è proprio
l'energia PROVA: somma delle definizioni.

3. la autocorrelazione deve essere non negativa

$$(\mathcal{R}_x[n] \leq \mathcal{R}_x[0]) \quad \forall n$$

PROVA

Urechte für Abschleifwert

TDSTD.2

$$\left| \sum_n a_{nl} b_m \right| \leq \left(\sum_n |a_{nl}|^2 \right)^{1/2} \left(\sum_n |b_m|^2 \right)^{1/2}$$

wobei $\sum_n |a_{nl}|^2 < \infty$, $\sum_n |b_m|^2 < \infty$ (neg. ob. energies)

obtusus

$$|\chi_x[m]| \leq \left(\sum_{n=-\infty}^{+\infty} |\chi[n]|^2 \right)^{1/2} \left(\sum_{n=-\infty}^{+\infty} |\chi[n-m]|^2 \right)^{1/2} = \sum_{n=-\infty}^{+\infty} |\chi[n]|^2 = \chi_x[0]$$

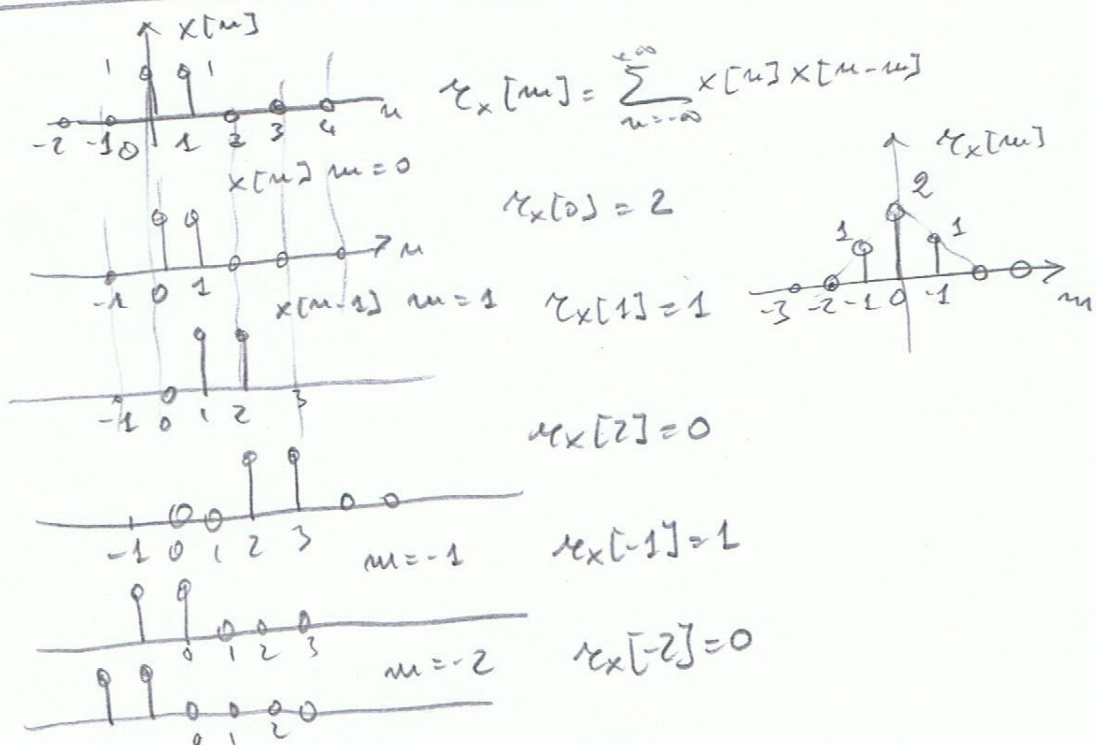
4. T. DI WIENER-KHINCHIN

$$\sum_{m=-\infty}^{+\infty} \chi_x[m] e^{-j2\pi m v} = |\chi(v)|^2$$

Prove

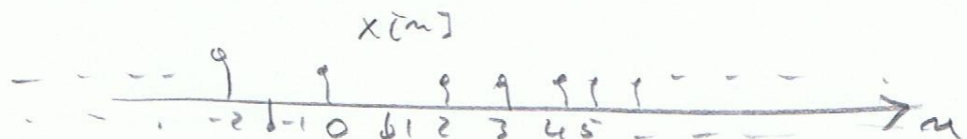
$$\begin{aligned} \chi(v) \chi^*(v) &= \sum_{m_1=-\infty}^{+\infty} x[m_1] e^{-j2\pi m_1 v} \sum_{m_2=-\infty}^{+\infty} x^*[m_2] e^{j2\pi m_2 v} \\ &= \sum_{m_1=-\infty}^{+\infty} \sum_{m_2=-\infty}^{+\infty} x[m_1] x^*[m_2] e^{-j2\pi(m_1 - m_2)v} \\ &= \sum_{m=-\infty}^{+\infty} \sum_{m=-\infty}^{+\infty} x[m] x^*[m-m] e^{-j2\pi m v} \\ &= \sum_{m=-\infty}^{+\infty} x[m] x^*[m-m] e^{-j2\pi m v} = \sum_{m=-\infty}^{+\infty} \chi_x[m] e^{-j2\pi m v} \end{aligned}$$

Ergebnis



RAPPRESENTAZIONE SPECTRALE DEI SEGNALI DETERMINISTICI DI POTENZA (TEMPO DISCRETO)

TDSTD.3



Analogomente ai segnali tempi-eccezione di pettine, per una variazione di pettine, si definisce spettro di pettine il liste delle medie del periodogramma tempo-veriente. Detratto

$$P(V; \mu_0, N) = \frac{1}{2N+1} \left| \sum_{n=\mu_0-N}^{\mu_0+N} X[n] e^{-j\frac{2\pi}{N} V n} \right|^2$$

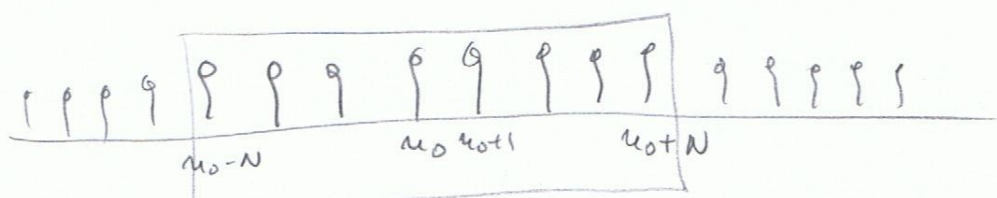
PERIODO GRAMMA TEMPO VARIANTE SU FINESTRA DI LUNGHEZZA $2N+1$ CENTRATA A MO.

Il periodo gennaio-maggio si ottiene mediante $P_0(2,70)$ m.
Mo, ovvero

$$P_x(y; N) = \lim_{M \rightarrow \infty} P_{\text{line}} = \frac{1}{2M+1} \sum_{m_0=-M}^M P_N(y; m_0)$$

Pertanto le spese di potere e'

$$P(v) = \lim_{N \rightarrow \infty} P_x(v; N).$$



$$P_x(v; u_0, N) = \frac{1}{2M+1} | \cdot |^2$$

$$\downarrow \quad <^{\circ} \quad \gamma_{\mu_0}$$

$$\downarrow N \rightarrow \infty$$

$$P_x(v)$$

NOTA:

Però eventualmente viene definito lo spettro di natura come

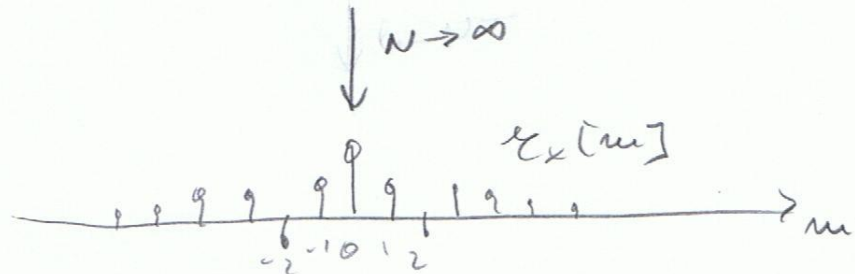
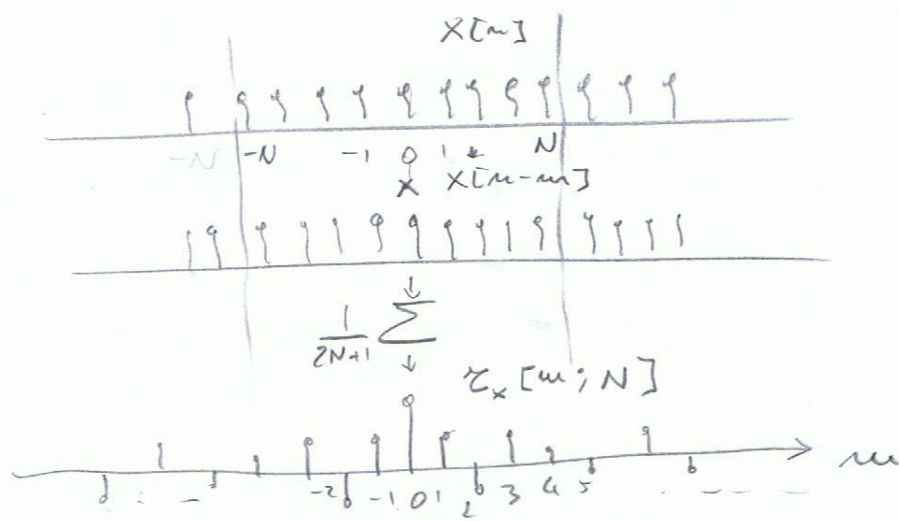
$$P_x(v) = \lim_{N \rightarrow \infty} P_x(v; 0, N) = \lim_{N \rightarrow \infty} \frac{1}{2N+1} \left| \sum_{m=-N}^N x[m] e^{-j2\pi v m} \right|^2$$

Se ne ha media rispetto al cennio delle funz., $P_x(v; 0, N)$ diventa progressivamente più complesso al crescere di N e la convergenza non è ovviamente in generale.

Anch'esso in envelope dei segnali tempo-continuo, lo spettro di potere viene più facilmente definito mediante la autocorrelazione.

Per una seq. di potenze, si definisce autocorrelazione deterministica l'espressione

$$\Sigma_x[m] \triangleq \lim_{N \rightarrow \infty} \frac{1}{2N+1} \sum_{m=-N}^N x[m] x^*[m]$$



Vale anche qui il T. di Wiener-Khinchin, ovvero che

$$\sum_{m=-\infty}^{+\infty} \gamma_x[m] e^{-j2\pi fm} = P_x(f)$$

La dimostrazione è del tutto analogo al caso tempo-continuo e si lascia per brevità.

Alcune proprietà immediate sono:

1. $\gamma_x[0] = P_x$ la autocorrelazione in $m=0$ è proprio la potenza.

Prova: banale conseguenza delle definizioni di γ_x e di P_x .

2. $\gamma_x[m] = \gamma_x^*[m]$ la autocorrelazione è Hermitiana.

Prova: banale conseguenza delle definizioni.

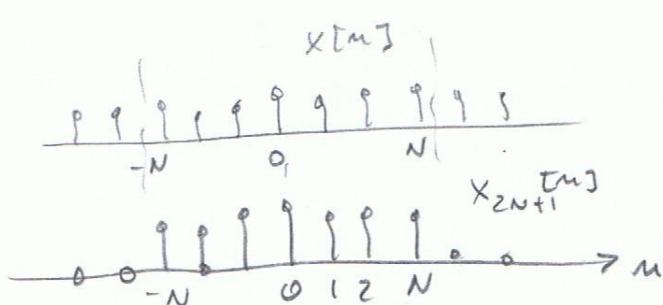
3. La autocorrelazione per un segnale di potenza può essere ottenuta come il biuto del correlatore.

$$\gamma_x[m] = \lim_{N \rightarrow \infty} \gamma_{x_{2N+1}}[m],$$

dove $\gamma_{x_N}[m]$ è la autocorrelazione dello segn.

(di energia) ottenuto da $x[m]$ troncando da $-N$ a N .

$$\gamma_{x_{2N+1}}[m] = \frac{1}{2N+1} \sum_{n=-N}^N x_{2N+1}[n] x_{2N+1}^*[m-n]$$



$$x_{2N+1}[m] = \begin{cases} x[m] & m = -N, \dots, N \\ 0 & \text{altrimenti} \end{cases}$$

Prova: la prova è semplice per il caso differenze di una quantità finita da $\sum_{m=-N}^N x[m] x^*[m-m]$. Pertanto si considera di N quanto discute inferiore. Per la particolarità.

$$\mathcal{E}_{2N+1}[m] = \frac{1}{2N+1} \sum_{n=N}^N x_{2N+1}^{[n]} x_{2N+1}^{*[n-m]}$$

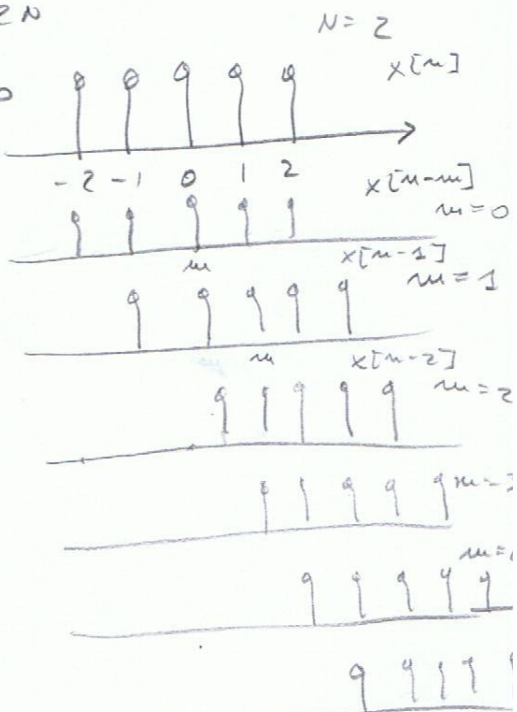
$$= \frac{1}{2N+1} \sum_{n=-N}^N x[n] \pi_{2N+1}[n] x^*[n-m] \pi_{2N+1}^{*[n-m]}$$

$$= \frac{1}{2N+1} \begin{cases} \sum_{m=m-N}^N x[m] x^*[m-m] & 0 \leq m \leq 2N \\ \sum_{m=N}^{m+N} x[m] x^*[m-m] & -2N \leq m \leq 0 \end{cases}$$

altrimenti $= 0$

$$= \frac{1}{2N+1} \begin{cases} \sum_{n=-N}^N x[n] x^*[n-m] - \sum_{n=-N}^{-N+m-1} x[n] x^*[n-m] & 0 \leq m \leq 2N \\ \sum_{n=-N}^N x[n] x^*[n-m] - \sum_{n=N+m+1}^N x[n] x^*[n-m] & -2N \leq m \leq 0 \end{cases}$$

altrimenti $= 0$



Per me fatto il tensore estero $\rightarrow 0$

4. La autocorrelazione ha almeno uno zero in gen

$$|\tau_{x^{[n]}}| \leq \tau_{x^{[0]}}$$

Prova:

Poiché la proprietà vale per i segnali di energia, applicandole al corrispondente ottiene

$$|\tau_{x_{2N+1}^{[n]}}| \leq \tau_{x_{2N+1}^{[0]}}$$

Andando al limite per $N \rightarrow \infty$ ottiene convergenza alla autocorrelazione e quindi la proprietà è dimostrata. \square